

**Reinier de Graaf**

**Benadering Pancreas door MDL arts voor diagnostiek.**  
**Resultaten EUS pancreas**

Rutger Quispel (MDL-arts, Delft)  
9 november 2023





1

**Reinier de Graaf**

**Vragen**

- Wie heeft er wel eens een EUS gezien?
- Wie is wel eens als ROSE bij een procedure aanwezig?
- Wat is het verschil tussen EUS en EBUS??
- Hoe lang bestaat EUS al?
- Heeft EUS het werk op de PA afdeling veranderd?
- Worden EUS-FNA en EUS-FNB door dezelfde patholoog beoordeeld?
- Gebruiken jullie een classificatie bij de beoordeling van EUS-FNA/FNB?

2



**Reinier de Graaf**

**Stellingen**

- Als een EUS geleide punctie geen diagnose oplevert dan is er niet goed geprakt
- Een EUS geleide punctie hoort in >85% van de gevallen beoordeelbaar materiaal op te leveren
- LBC levert meer op dan smears
- Leercurves zijn alleen geschikt voor mensen die het vak nog moeten leren (arts-assistenten in opleiding etc)

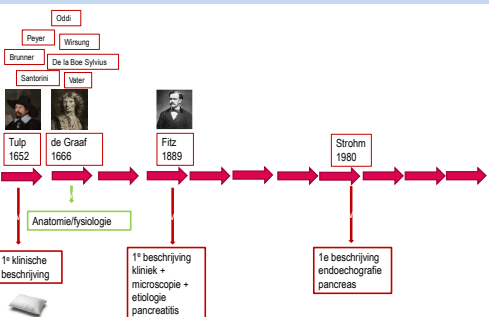
3



4

**Reinier de Graaf**

**Van pancreas anatomie naar EUS geleide cytologie**



Timeline milestones:

- Tulp 1652: 1<sup>st</sup> anatomische beschrijving
- de Graaf 1666: 1<sup>st</sup> beschrijving kliniek + microscopie + etiologie pancreatitis
- Wirsung 1666: Peyer De la Bise Sylvis
- Santorini 1666: Valer
- Fitz 1889: 1<sup>st</sup> beschrijving endoechografie pancreas
- Strohm 1980: Anatomiefysiologie

5

**Reinier de Graaf**

**Ultrasonic Tomography by Means of an Ultrasonic Fiberendoscope**

W.D. Strohm, J. Phillip, F. Hagenmüller, M.Claßen  
Department of Gastroenterology, Johann-Wolfgang-Goethe-Universität, Frankfurt/M.

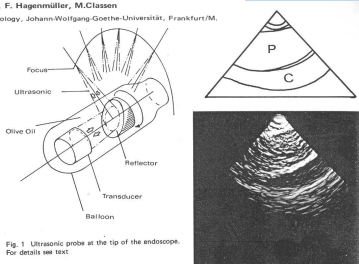


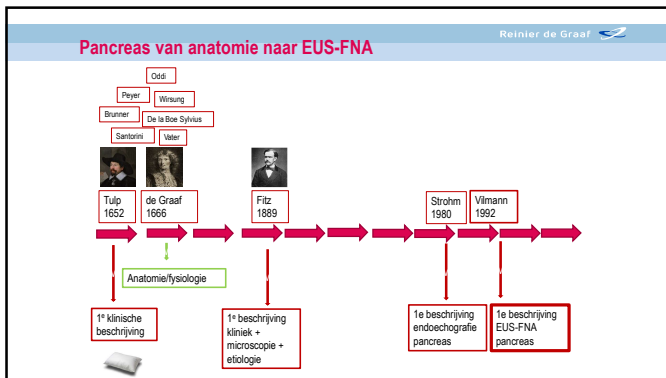
Fig. 1 Ultrasonic probe at the tip of the endoscope.  
For details see text

Fig. 2 Endoscopic ultrasonic tomography (EUST):  
Longitudinal cut of the head of the pancreas.  
P = pancreas, C = Vena cava

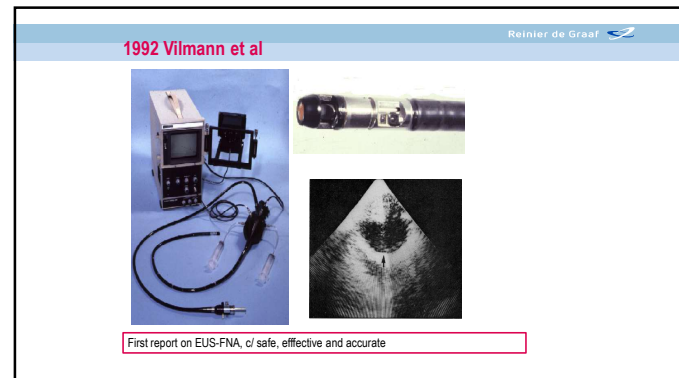
Endoscopy 12 (1980) 241–244

6

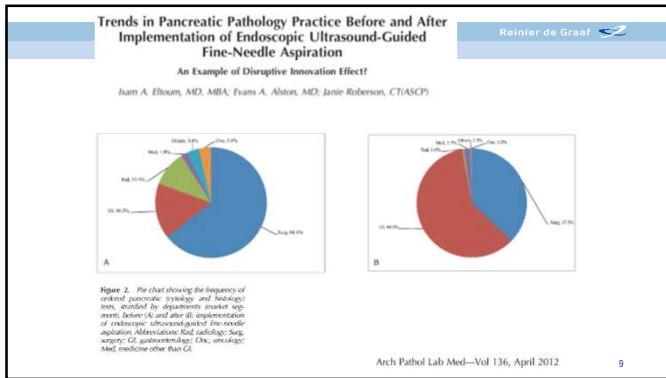
1



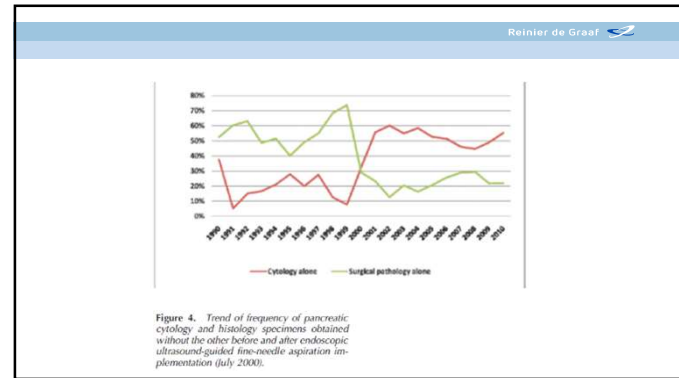
7



8



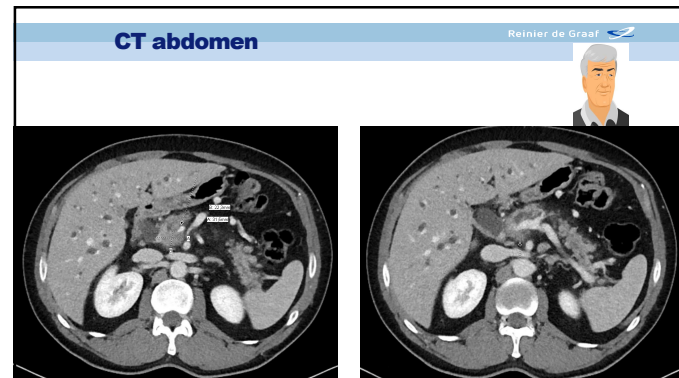
9



10



11



12

**Piet – diagnostiek**

- CT abdomen: Sterke verdenking op pancreaskopcarcinoom, met evidente taillering van de VMS met sterke verdenking op maximaal 270 graden encasement. Dubieuze dorsale uitbreiding (serie 9, ima 39), dan wel lymphadenopathie. Alhier nauwe relatie tot de AMS, echter niet geïn contact. Geen betrokkenheid van de a. hepatica. Uitgebreide locoregionale lymphadenopathie, ook nabij de truncus coeliacus en kleine curvatur. Prominente en mogelijk ook verdachte klieren links para-aortaal. Geen levermetastasen of ascites.



13

**Piet – diagnostiek**

- EUS: Hypoechoogene massa vanuit bulbus, goed te kanuleren. Eenvoudige canulatie en goede voorwaarde in de truncus coeliacus. AMS succesvol gestandaardiseerd. Anteieve PD sterke verdenking op maligniteit.




14

**Piet – diagnostiek**

- Pathologie:

- Puntie pancreaskop: voornamelijk bestaande uit maag darm epithel derhalve niet representatief. Bethesda 1.



15

**Piet – diagnostiek**

Bethesda*	Beschrijving
I	Nondiagnostic
II	Negative (for malignancy)
III	Atypical
IV	Neoplastic: benign and other
V	Suspicious (for malignancy)
VI	Positive/malignant

\* Pittman et al. 2014. Diagnostic Cyt pathology. Standardized terminology and nomenclature for pancreaticobiliary cytology. The Papillary and biliary society of cytopathology guidelines.



16

**Piet – MDO (1)**

- Conclusie: Verdenking LAPC/borderline resectabel pancreascarcinoom op basis van betrokkenheid VMS (270 graden), AMS vrij.

- Beleid:

- EUS met puntie herhalen
- Plus puntie N2 lymphklier




17

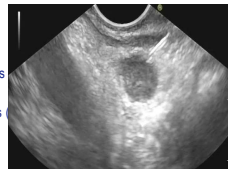
**Piet – diagnostiek**

- EUS (2):

- 1.Voor maligniteit verdachte lymphadenopathie rondom truncus coeliacus waarvan PA
- 2.Massa in pancreas niet voldoende een uitzicht door voorliggende in situ metalen stent.
- 3.Lokale verdachte klieren waarvan PA.
- 4.Pancreas stent verwijderd.

- Pathologie:

- I en II. Lymphklierpuntie truncus coeliacus en PA. Geen voldoende massa aanwijzing voor maligniteit.
- Stolsel bij punties klieren t.p.v. pancreas.




18

Piet – MDO (2)



- Conclusie: Verdening locally advanced pancreascarcinoom, nog geen PA bewijs.
- Beleid:
  - Nieuwe EUS met punctie na stentverwijdering



19

Piet – diagnostiek



- EUS (3):
  - Bij vervolgen in de nek een ca 3 cm groot, grillig hypoechogene proces waarin de PD dooloopt. Alhier FNB met de 20G Procore en 3x FNA met de 25G naald met on-site beoordeling waarbij (een kleine hoeveelheid) representatief materiaal verkregen wordt.
- Pathologie:
  - FNA/cytologie: EUS FNA pancreaskop: maligne, beeld passend bij adenocarcinoom. Bethesda 6.
  - Ingebloktd stolsel van punctie pancreaskop: zeer weinig materiaal. Dit geeft geen aanvullende informatie.
  - FNB/histologie: slecht gedifferentieerd adenocarcinoom.

20

Piet – MDO (3)



- Conclusie: PA bewezen LAPC
- Beleid:
  - Nieuwe CT
  - Behandeling volgens LAPC protocol



21

Piet – tijdslijn




22

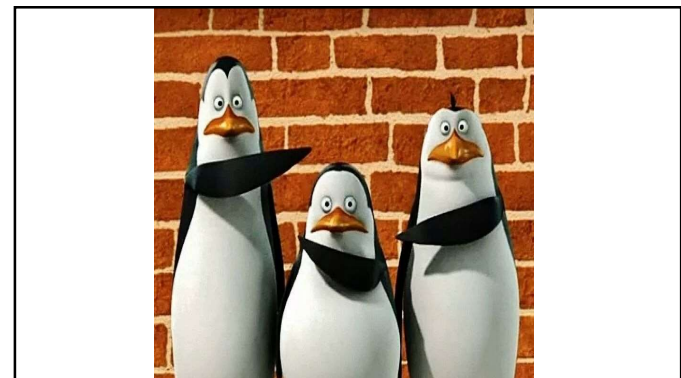
Piet – tijdslijn



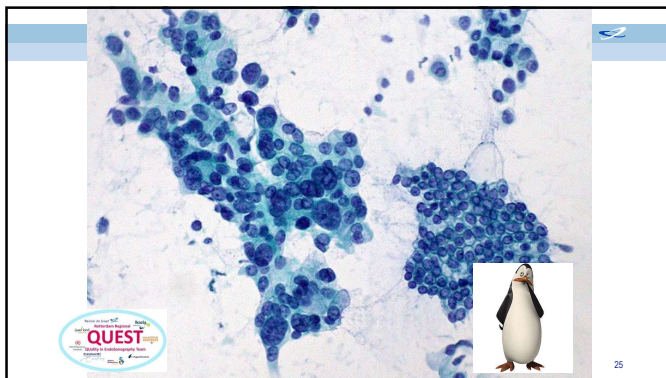
Niemand is  
Frustratie als motivatie



23



24



25

**Meten is weten : uitkomstmaten**

Reinier de Graaf

**Quality indicators (ASGE)\***

Bethesda	classification
I	Non diagnostic (inadequate)
II	Benign
III	Atypical
IV	Neoplastic: benign and other
V	Suspicious (for malignancy)
VI	Positive/malignant

Rate of adequate sample (85%)  
Diagnostic yield of malignancy (70%)  
Sensitivity for malignancy (85%)

\* Wan et al. Gastrointestinal endoscopy. 2015. Quality indicators for GI endoscopic procedures

26

**Meten is weten : uitkomstmaten**

Reinier de Graaf

**Quality indicators (ASGE)\***

Bethesda	classification
I	Non diagnostic (inadequate)
II	Benign
III	Atypical
IV	Neoplastic: benign and other
V	Suspicious (for malignancy)
VI	Positive/malignant

Rate of adequate sample (85%)  
Diagnostic yield of malignancy (70%)  
Sensitivity for malignancy (85%)

\* Wan et al. Gastrointestinal endoscopy. 2015. Quality indicators for GI endoscopic procedures

27

**De keten**

Reinier de Graaf

The diagram shows a flow from a human silhouette to a detailed anatomical drawing of the digestive tract, then to a microscopic image of tissue. Below this, a series of small images represent different roles: (cyto)pathologen, endoscopieverpleegkundigen, MDL-artsen, and cytologie-laboranten. A metal chain is positioned horizontally across these roles, symbolizing the interconnectedness of the team.

28

**Verschillende opties per procedure**

Reinier de Graaf

The block contains several images: three types of needles labeled 19G, 22G, and 25G; a long thin probe; a woman working at a lab bench with a computer monitor; and two smaller images labeled A and B showing medical equipment.

29

**Collaboration of community hospital endosonographers improves diagnostic yield of endoscopic ultrasonography guided tissue acquisition of solid pancreatic lesions**

OPEN ACCESS

► Table 1 Demographics, tumor localization and reference standard per EUS guided TA procedure in BEFORE and AFTER cohorts.

	Total (n=212)	BEFORE (n=80)	AFTER (n=132)	P value (BEF vs AFT)
Sex male, n (%)	116 (54 %)	46 (58 %)	70 (52 %)	0.5
Median age in years (range)	69 (24 - 87)	67 (24 - 86)	70 (43 - 87)	<b>0.02</b>
Location mass pancreatic head, n (%), [95 %CI]	125 (59 %) [0.5 - 0.7]	50 (63 %) [0.5 - 0.7]	75 (56 %) [0.5 - 0.7]	0.4
Reference standard malignant, n (%), [95 %CI]	177 (83 %) [0.8 - 0.9]	58 (72 %) [0.8 - 0.9]	118 (89 %) [0.8 - 0.9]	<b>&lt;0.01</b>

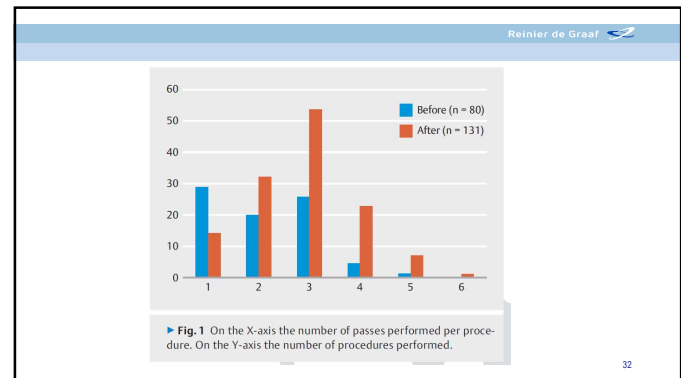
BEFORE, before team formation; AFTER, after team formation  
Significant results are bolded

30

► Table 2 Performance characteristics per hospital BEFORE and AFTER.

	A	B	C	D	Difference (min-max)	95% CI	P value	Total
Procedures BEFORE	20	20	20	20				
Rate of adequate sample	70 % [0.5 - 0.9]	95 % [0.7 - 1.0]	100 % [0.8 - 1.0]	55 % [0.3 - 0.8]	45 %	[0.2 - 0.7]	<0.001	80 [0.7 - 0.9]
Diagnostic yield of malignancy	5 % [0.5 - 0.2]	40 % [0.3 - 0.7]	15 % [0.1 - 0.2]	1 % [0.1 - 0.8]	55 %	[0.3 - 0.7]	<0.001	28 % [0.5 - 0.4]
Sensitivity for malignancy	—	55 % [0.5 - 1.0]	79 % [0.5 - 0.9]	67 % [0.1 - 0.0]	39 %	[0.1 - 0.6]	<0.01	63 % [0.4 - 0.5]
Diagnostic accuracy	36 % [0.1 - 0.6]	68 % [0.4 - 0.9]	70 % [0.5 - 0.9]	45 % [0.2 - 0.8]	34 %	[0.0 - 0.6]		58 % [0.4 - 0.7]

31



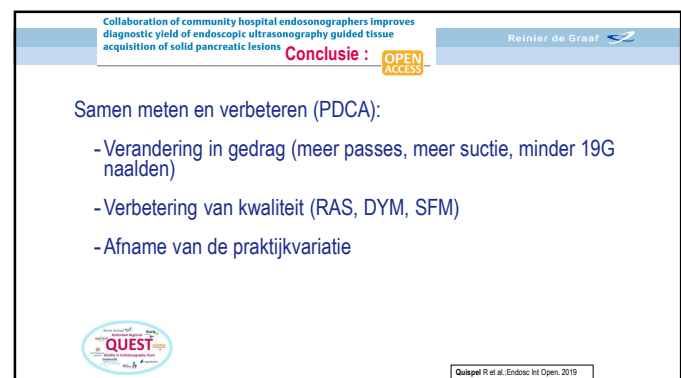
32

► Table 4 Variables associated with non-diagnostic procedures in univariable and multivariable analysis.

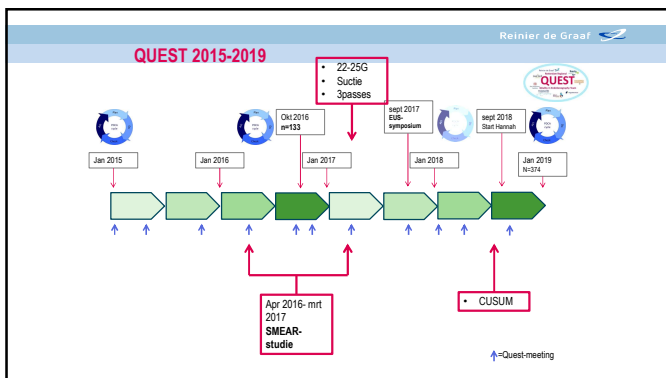
Variable	Univariate (1)		Multivariate	
	Odds ratio with 95%CI	P value	Odds ratio with 95%CI	P value
Needle diameter 19G (yes/no)	0.4 (0.1 - 1.1)	0.08	0.7 (0.2 - 2.3)	0.6
AFTER (yes/no)	5 (2 - 14)	0.001	5 (2 - 13)	<0.01

Results of univariate logistic regression analysis investigating nine variables as potential predictors of non-diagnostic procedures, and of the multivariate analysis using variables significant at P<0.1 in the univariate analysis.  
 Age, sex, number of endoscopic biopsies (yes/no), number of passes (>3 yes/no), use of any type of suction (yes/no), endoscopist experience (>3 years post-training yes/no), and endoscopist-specific training program (Erasmus Medical Center yes/no) had P values>0.1 in univariate analysis and were therefore not included in the multivariate analysis.  
 Significant results are bolded.

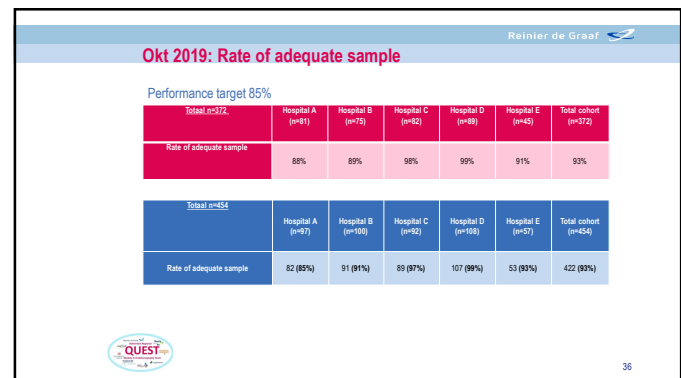
33



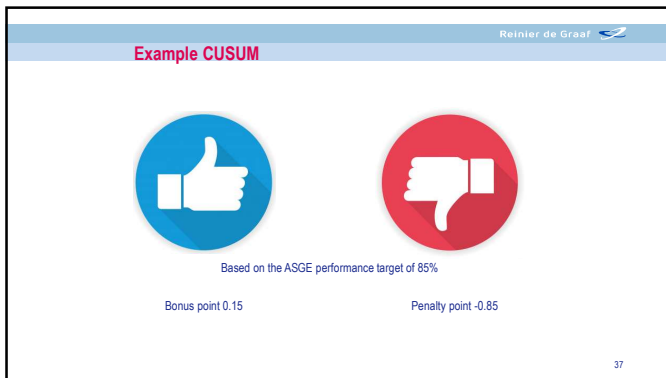
34



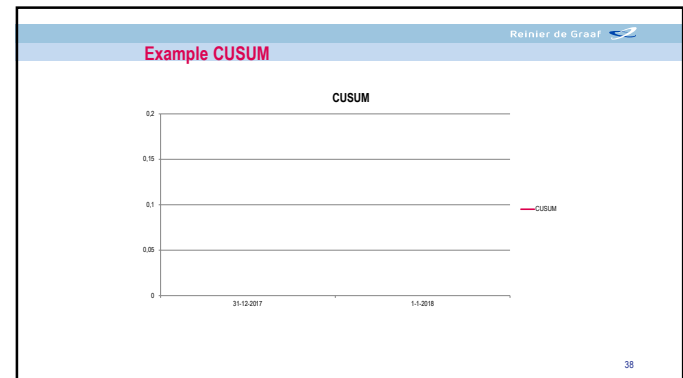
35



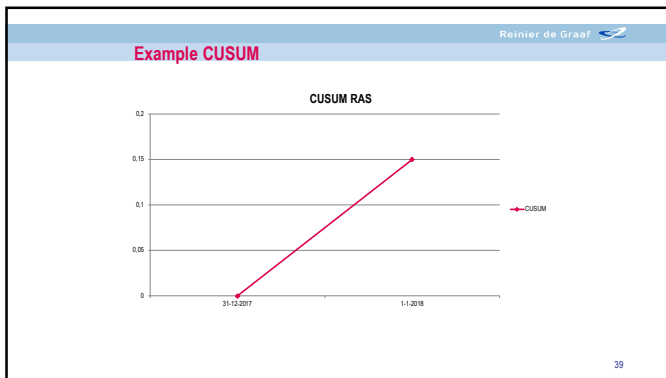
36



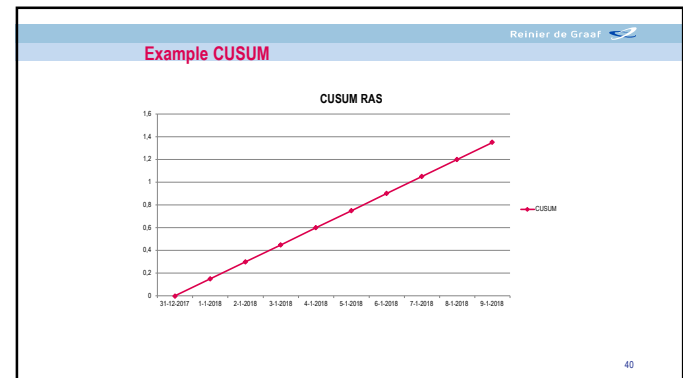
37



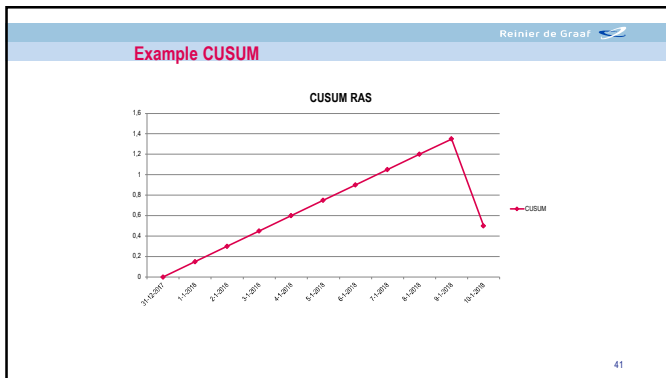
38



39

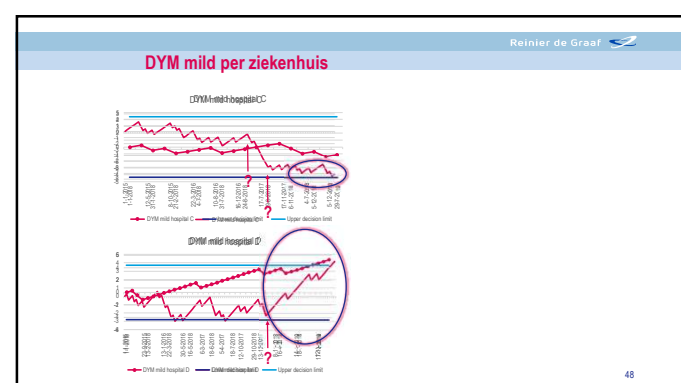
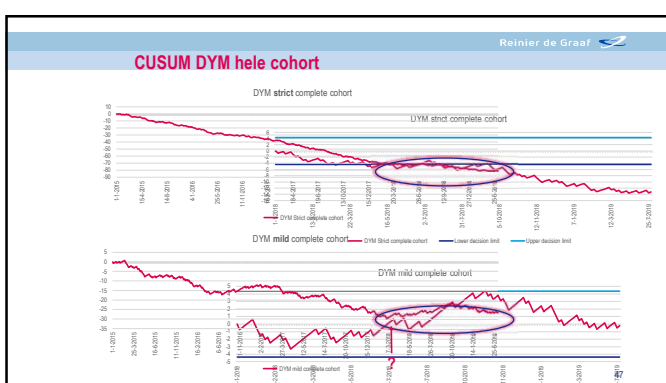
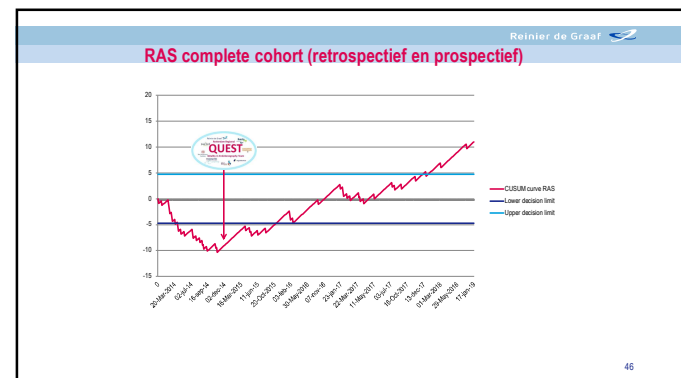
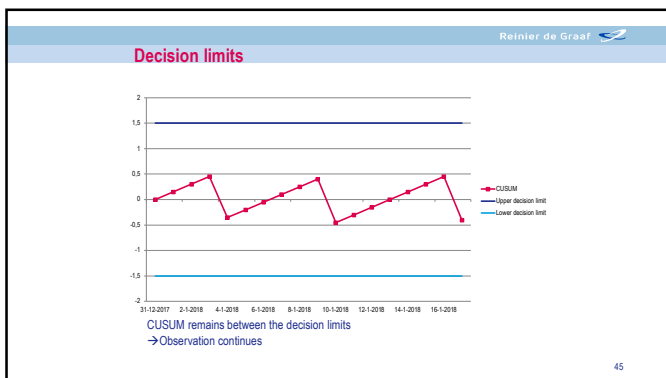


40



41





**Literatuur**

**ASGE key performance indicators (KPI)**

- Rate of adequate sample (RAS) >85%
- Diagnostic Yield of Malignancy (DYM) >70%
- Sensitivity for malignancy (SFM) >85%

[Wani et al. Gastrointestinal endoscopy. 2015. Quality indicators for GI endoscopic procedures.]

49

**Nationwide analysis of diagnostic accuracy of EUS-guided tissue acquisition prior to resection of pancreatic carcinoma**

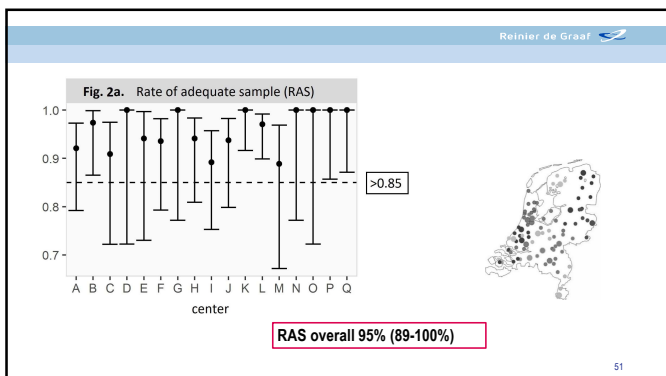
**Figure 1. Selection of study population**

Source: PGLA database  
2014-2018  
surgical resections pancreas (1139)  
Excluded (n=10):  
+ 2 centres each operating outside hours  
+ 1 non-pancreatic  
+ 1 non-endoscopic  
+ 1 non-pancreatic  
+ 1 non-endoscopic  
Excluded (n=1):  
+ 1 non-pancreatic  
Excluded (n=1):  
+ 1 non-endoscopic  
3rd EUS-TA at  
designated pancreatic surgery centre (n=473)  
3rd EUS-TA at  
referring hospital (n=116)

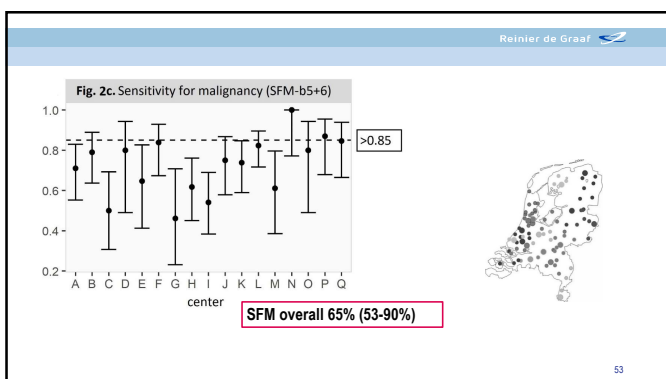
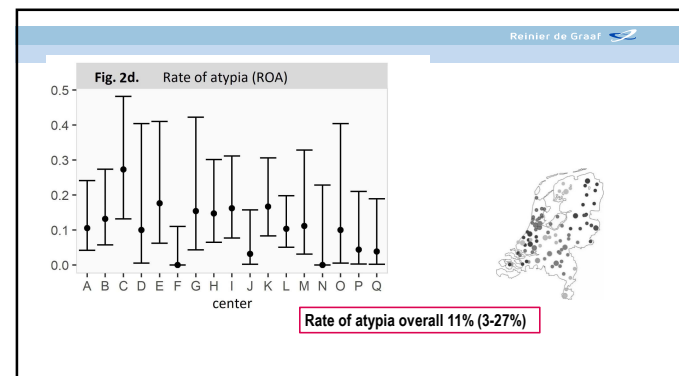
Quijpe et al. HPB Journal 2023

**Reinier de Graaf** **QUEST** **DPCG** **palga**

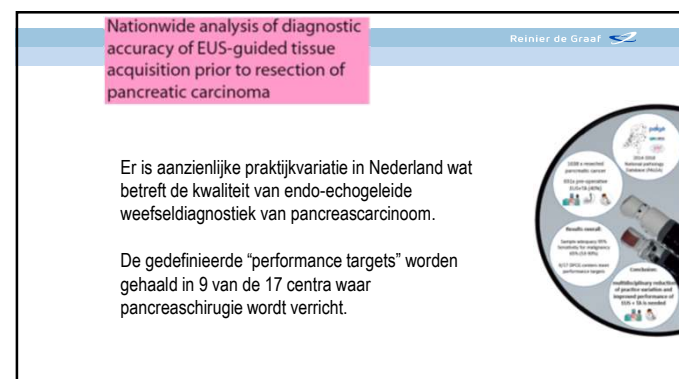
50



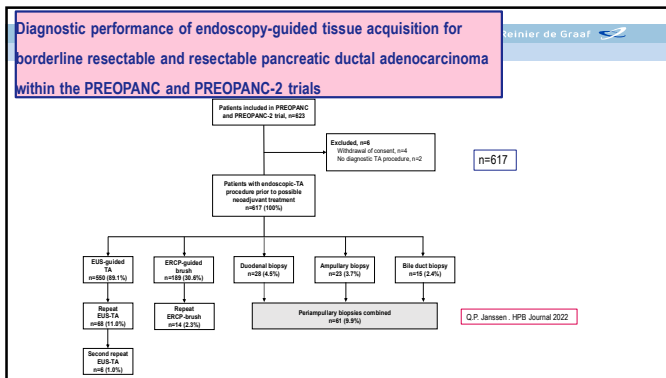
51



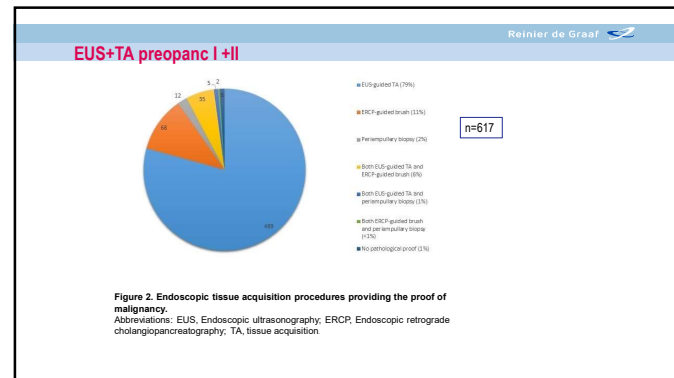
53



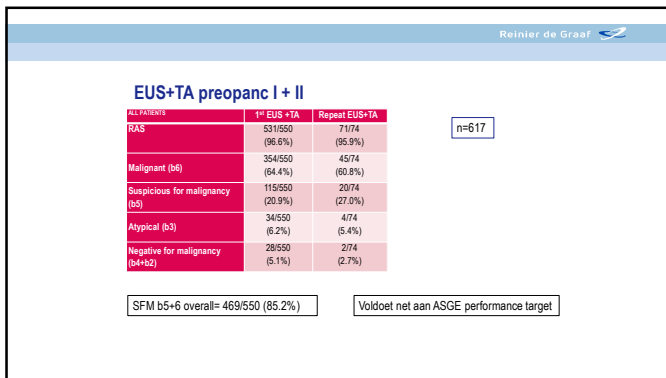
54



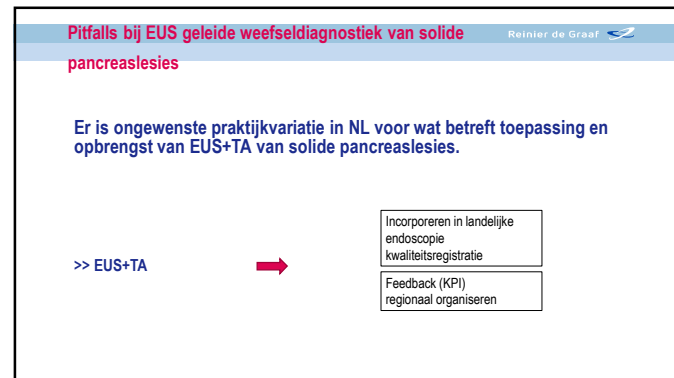
55



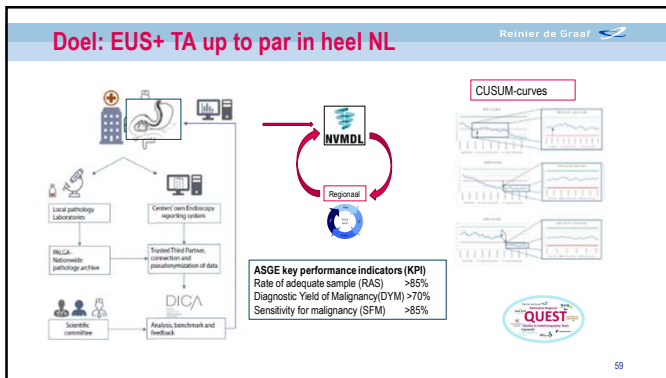
56



57



58



59



10

**Stellingen**

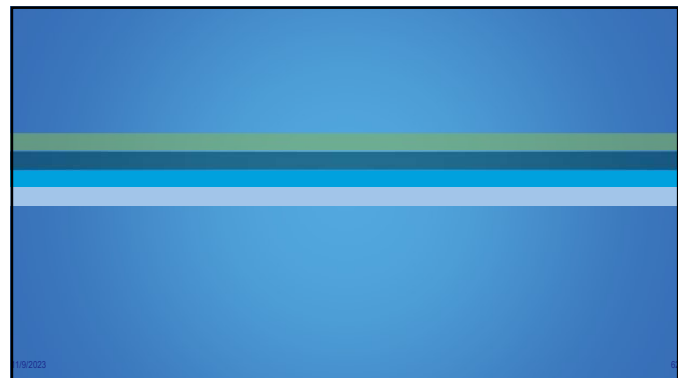
Reinier de Graaf

- Als een EUS geleide punctie geen diagnose oplevert dan is er niet goed geprikt
- Een EUS geleide punctie hoort in >85% van de gevallen beoordeelbaar materiaal op te leveren
- LBC levert meer op dan smears
- Leercurves zijn alleen geschikt voor mensen die het vak nog moeten leren (arts-assistenten in opleiding etc)
- In heel NL is de kwaliteit van EUS geleide weefseldiagnostiek van solide pancreaslesies van topkwaliteit

QUEST

61

61



62

**4 verschillende 22G FNB naalden**

Reinier de Graaf

Procure Cook Reverse-bevel	EZ shot 3 plus Olympus Menghini-tip
Acquire Boston Franseen	SharkCore Medtronic Fork-lip

63

63